

(28) 動的せん断試験による岩盤の動的力学特性と繰返しの影響

電力中央研究所 土木研究所

立地部 地盤構造研究室

○藤原義一 日比野敏 金川忠 駒田広也 石田毅
中川加明一郎 新寿一

1. はじめに

原子力発電所などの重要構造物は、現状では硬質および軟質岩盤上に構築されている。従来、これらの重要な構造物に対する地震時の安定性を検討するに必要な動的物性値は、軟質岩盤の場合では原位置で採取したボーリングコアによる室内振動三軸試験などによることが多い。しかし、硬質岩盤では、節理、亀裂が介在してボーリングコアの採取が困難であることが多く、室内試験の実施が難しい。そこで、今回、原位置動的せん断試験装置を試作し、岩盤のひずみ依存性を考慮した動的力学特性、強度特性の把握を試みた。さらに、室内試験と原位置試験との動的力学特性、強度特性の比較を行ったので、以下に報告する。

2. 供試体、試験装置および試験方法

1) 供試体 供試体は、岩盤をラインドリリングして切出した。その寸法は、巾約 $60\text{cm} \times 30\text{cm}$ 、高さ 30cm とした。供試体寸法は、あらかじめ実施した静的せん断試験、平板載荷試験結果および油圧ジャッキの出力等を考慮して定めた。供試体の個数は、各3個とした。

2) 試験装置 試験装置の概要を図-1に示す。装置は、大別すると載荷装置と計測装置に分けられる。装置の構成と仕様を表-1に示す。載荷装置は、垂直荷重を静的に載荷するための油圧ジャッキおよび動的せん断荷重を載荷するための供試体左右の油圧ジャッキにより成り、荷重増幅器により荷重を制御する。計測成分は、供試体のせん断方向変位（岩盤と供試体との相対変位）を測る非接触型変位計4成分、岩盤の変位を測る差動変位計2成分、垂直方向変位を測る差動変位計2成分、回転方向変位を測る差動変位計2成分および垂直荷重、動的せん断荷重を測るロードセル3成分の合計13成分である。これらは、増幅器を介して電磁オットロケラフ、データレコーダーにて記録をした。解析は、データレコーダよりA/D変換器を介して計算機により行った。

3) 試験方法 試験は、通常の原位置における静的せん断試験方法に準拠した。供試体の静的垂直荷重 O_n は、構造物の自重による接地圧（約 5kgt/cm^2 ）を基とし、 $O_n = 0 \sim 8\text{kgt/cm}^2$ の範囲で定めた。

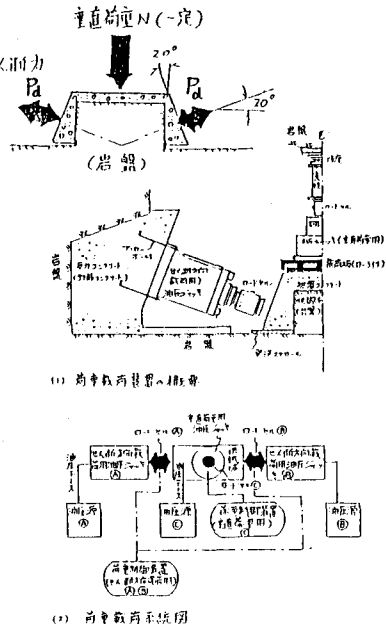


図-1 試験装置の概要

表-1 各装置の構成と仕様

品名	仕様	数量
載荷板	1130×100×7.5mm 0.5t-1t	1
支柱	高さ2.2m E=30GPa 2.2m×2.2m	3
支柱	高さ2.2m E=3.0GPa 2.2m×2.2m	1
床面	直角2.2m×1.5m 3.5×2.2m	1
差導器	直角2.2m×1.5m 3.5×2.2m	2
油圧源	最大出力21.8kW 10A, 3.10, 3kw	3
油圧シリンダー(載荷用)	直角2.2m×1.5m 3.5×2.2m	1
油圧シリンダー(側面用)	直角2.2m×1.5m 3.5×2.2m	2
油圧増幅器	直角2.2m×1.5m 3.5×2.2m	2
油圧シース	直径1mm, 長さ10m	12
計測機器	非接触型変位計 油圧センサ 油圧計 ロードセル	4
測定装置	油圧計 ロードセル	6
データレコーダー	型式：2432-21, 16ch	1
データレコーダー	型式：XR-50, 14ch	1
計算機	型式：HP-85, 32K	1
AD変換器		1
データレコーダー		1

供試体のせん断面の動的せん断荷重では、 2 kg/cm^2 づつ順次増大させ、供試体が破壊に至るまで行った。各荷重段階における繰返し波数 N は、25波とした。振動数は、1 Hzとした。いま、供試体に作用する垂直応力 σ_n と動的せん断荷重 G_d を式で表示すれば、次式となる。

$$\text{垂直応力: } \sigma_n = \sigma_n + P_d \sin \theta / A$$

動的せん断応力:

$$G_d = P_d \cos \theta / A$$

(1)

ここで、 P_d は

供試体に作用する傾斜荷重 ($P_d = P \sin(2\pi f t)$)、
 A は、供試体のせん断面積、 θ は、傾斜荷重の作用角度
($\theta = 20^\circ$ とした) である。動的せん断ひずみ振巾 δ は、
供試体と岩盤の平均相対水平変位 δ_H と岩盤面から変位
計までの平均高さ H から近似的に、次式により求めた。

$$\delta = \delta_H / H \quad (2)$$

図-3 動的せん断弹性係数と動的せん断荷重との関係(岩盤: 疑灰角砾岩) ここで、 δ_H は、供試体に固定した4個の変位の平均相
対変位、 H は、岩盤面から4個の変位計の個々の高さの平均値とした。これらの関係より岩盤の動的せん断弾性
係数 G_d および減衰定数 η を求めるここととした。

すなはち、 G_d と η は、

$$G_d = \bar{G}_d / \rho, \quad \eta = \Delta W / 4\pi W \quad (3)$$

である。 $\Delta W, W$ については、図-2 参照。

3. 結果

1) 動的力学特性

G_d と η の関係の例を図-3、図-7 に示した。図によれば、 η が増加すると G_d は、低下する傾向を示す。また、垂直応力 σ_n が増加すると G_d は、大きくなる傾向を示す。一方、動的せん断荷重の繰返し波数 N による G_d への影響は、少ない。次に、 η と η の関係の例

を図-4、図-8 に示した。図によれば、データのはらつきは大きいが、 η の値は、ある値を超えると増加する。

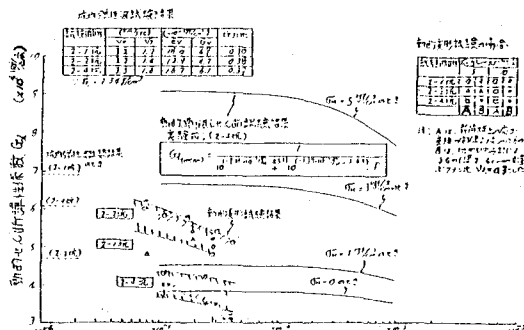


図-5 各種試験方法による動的せん断弾性係数の比較(岩盤: 疑灰角砾岩)

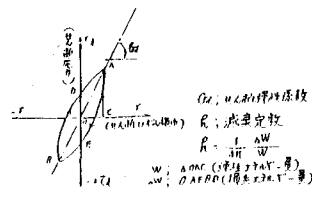


図-2 倾斜曲線

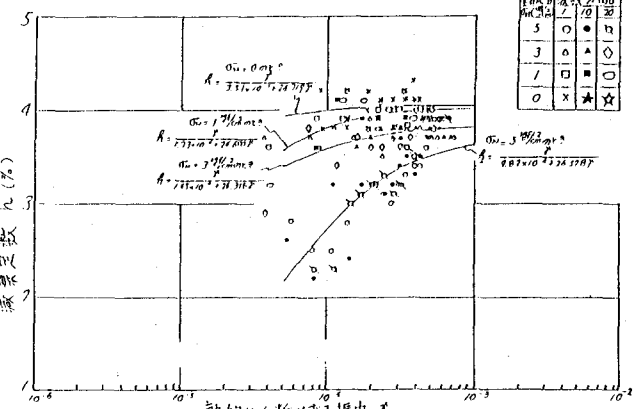


図-4 減衰定数ηと動的せん断ひずみ振巾δとの関係(岩盤: 疑灰角砾岩)

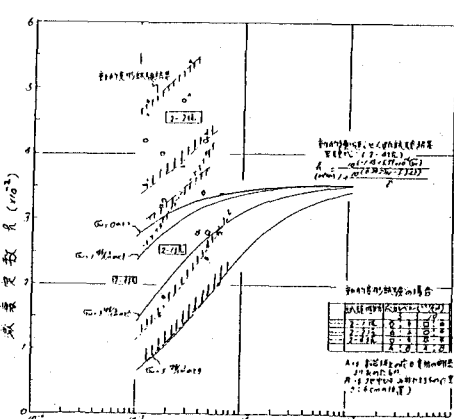


図-6 各種試験方法による減衰定数ηの比較(岩盤: 疑灰角砾岩)

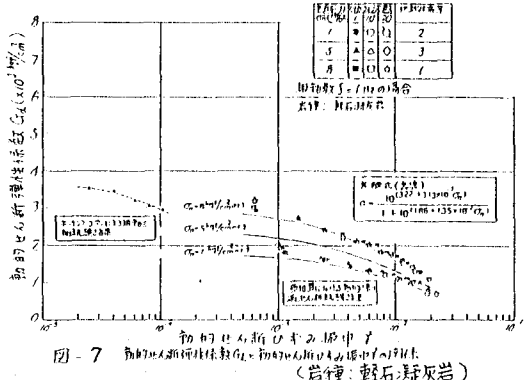


図-7 動的せん断ひき振幅一定の場合は
(岩種: 軽石・凝灰岩)

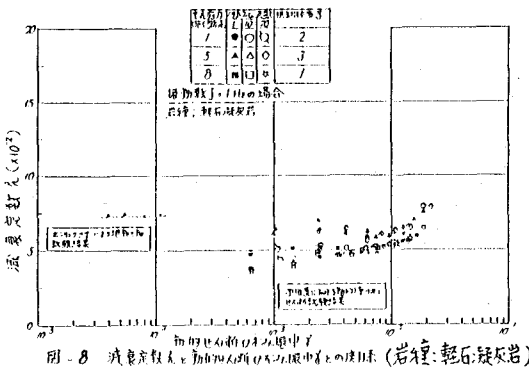


図-8 振動定数と動的せん断ひき振幅一定の場合は
(岩種: 軽石・凝灰岩)

傾向を示す。また、垂直応力 σ_n が増加すると、 η は低い値を示す傾向が認められる。

次に、今回の試験結果と他試験結果との G_d および η との関係を比較してみた。その結果を図-5, 6, 7, 8 に示した。結果によれば、兩者とも概略今回のお試験結果に類似した傾向が見られた。

2) 繰返し載荷による強度特性

凝灰角礫岩の場合岩盤が非常に硬く、載荷装置の能力の關係で、破壊試験が出来なかつた。そこで、 $\sigma_n = 0$, $T_d = 32 \sim 36 \text{ kg/cm}^2$ で持続的に繰返し載荷する疲労試験を行つた。軽石凝灰岩の場合は垂直荷重下 ($\sigma_n = 1, 5, 8 \text{ kg/cm}^2$) で動的せん断荷重を順次増加させながら破壊に至らしめた。

(1) 凝灰角礫岩の場合

μ と N との関係を図-9に、 G_d と N の関係を図-10に、 η と N の関係を図-11に示した。図-9において、 μ は、破壊に近づくと急激に増大する傾向である。そこで、このより急激に増大する点を降伏点とし、降伏点の動的せん断ひき振幅 η_B を求めてみると、

η_B の値は、概略 $3.4 \sim 4.1 \times 10^{-3}$ の範囲であった。さらに、図-10, 11によれば、破壊に近づくと、 G_d は低下し、 η は急激に増大する傾向が認められた。

(2) 軽石凝灰岩の場合

垂直荷重 σ_n を $1, 5, 8 \text{ kg/cm}^2$ (-一定) として、動的せん断荷

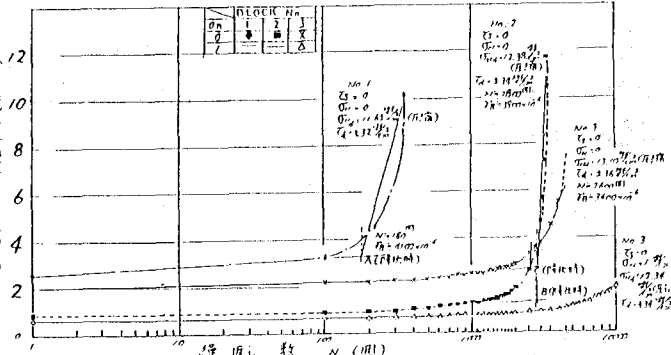


図-9 繰返し載荷によるせん断ひき振幅の変化(岩種: 凝灰角礫岩)

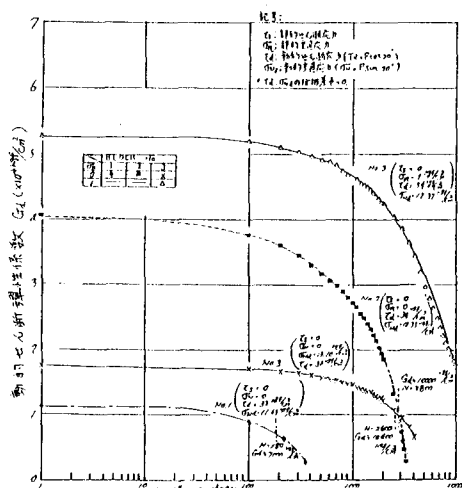


図-10 繰返し載荷による動的せん断強度係数 G_d の変化
(岩種: 軽石凝灰岩)

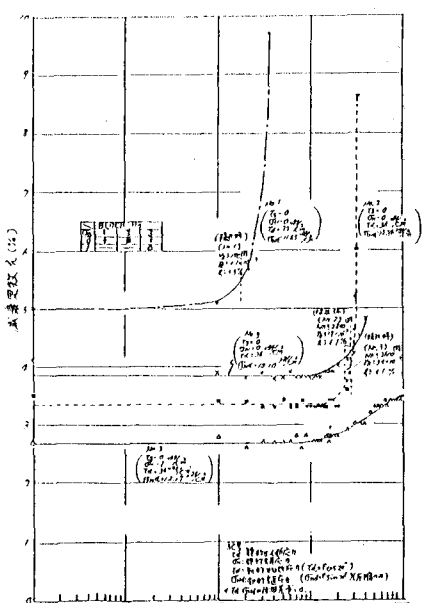


図-11 繰返し載荷による振動定数 η の変化(岩種: 凝灰角礫岩)

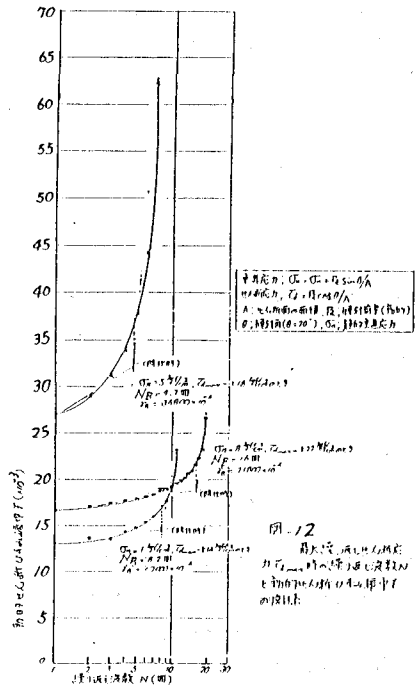


図-12 静的せん断試験結果
（岩種：軽石凝灰岩）

重を順次増大させ破壊に至らしめたとき、破壊時の γ の値は、14.18, 22 kg/cm^2 であった。また N との関係を示すと図-12の結果を得た。結果によれば、すなはち、凝灰角礫岩の場合と同様に破壊に近づくと急激に増加する傾向がある。さらに、動的せん断荷重を順次増大させたときの σ と γ との関係の例を図-13に示した。この結果より各動的せん断荷重時の履歴曲線の包絡線を書いてみると、破壊に近くになると逆に低下する傾向が認められた。図-14には、各重直荷重下での履歴曲線の包絡線を示した。

次に、原位置における静的せん断試験と動的せん断試験による強度特性を比較してみると、図-15のごとくである。結果によれば、 $\sigma_n = 1 \sim 8 \text{ kg}/\text{cm}^2$ の範囲では、強度特性は、前者に比して後者の方が約23%程度低い結果であった。この原因は、おそらく繰返し載荷による影響と思われる。

以上、2箇所での動的せん断試験結果を述べたが、今後、多くの個所での試験を実施し、岩盤の動的力学特性について検討をしたいと考えている。

4. 今後の問題点

今後同試験を実施するにあたり、さらに考慮していくべきなければならない事項を列記する。

- 1) 動的せん断ひずみの計測方法
- 2) 振動数を考慮した動的せん断強度の把握
- 3) 動的荷揚げ水圧の把握

謝辞

本試験の準備、試験の実施にあたり、古屋、田中、田村、高嶋、小山田、谷藤、坂本各氏はじめ、多くの関係者諸氏に多大な御援助、御協力をいたしました。こゝに感謝の意を表します。

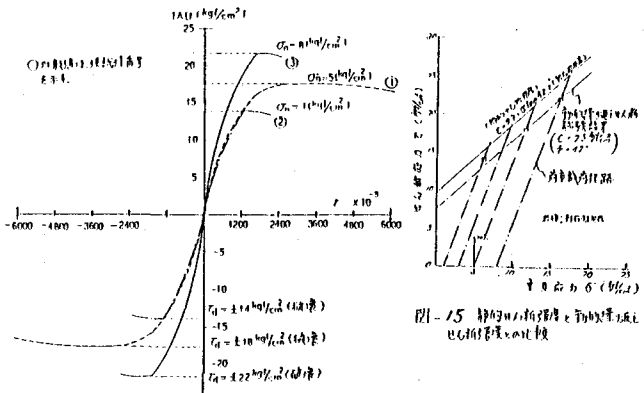
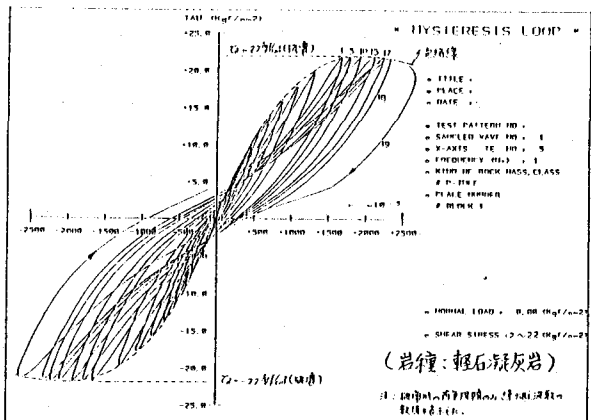


図-14 繰り返し載荷時のひずみ包絡線（岩種：軽石凝灰岩）

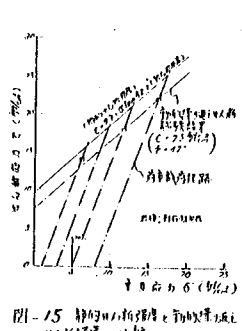


図-15 静的せん断強度と動的せん断強度の比較

(28) DYNAMIC DEFORMATION AND FAILURE CHARACTERISTIC OF
ROCK FOUNDATION BY CYCLIC SHEAR LOADING TEST

By Y.Fujiwara,S.Hibino,T.Kanagawa,H.Komada,T.Ishida,
K.Nakagawa and K.Shin

Central Research Institute of Electric Power Industry
Siting Technology Dept. Geomechanics Sec.
1646 Abiko,Abiko-shi,Chiba-ken,Japan

Synopsis

Nuclear power station are built on rock foundations. Dynamic properties of foundations have been obtained by dynamic triaxial tests using boring cores in case of weak rock foundations. In case of hard rock foundations,however,it is very difficult to obtain dynamic properties of foundations by core samples due to cracks and joints. The authors,therefore,have newly developed the in situ dynamic shear loading apparatus. Using this device various dynamic characteristics such as shear modulus,ultimate strength,damping ratio are obtained.

Some results obtained are as follows ;

The kinds of rock foundations are tuff-breccia and pumice-tuff .

- (1) Dynamic shear moduli G_d increase in proportion to increase of normal stress magnitude σ_n .
- (2) Dynamic shear moduli G_d discrease in propotion to increase of shear strain magnitude γ within the range of 3×10^{-5} to 2×10^{-2} .
- (3) Damping ratio h increase as shear strain γ increase.
- (4) Near the yielding of specimen,shear strain γ increase immensely.
- (5) In case of the tuff-breccia,dynamic shear yield γ_g were $(3.4 \sim 4.1) \times 10^{-3}$.
- (6) In case of the pumice-tuff,the dynamic shear strengths were 14,18 and 22 kgf/cm^2 . Comparing the static shear strengths ,the dynamic shear strengths were lower by about 23 %.